

## 任意形状板の曲げ

九州大学工学部 山崎徳也

○後藤恵之輔

1.序 本研究は任意形状板の曲げを Muskhelishvili の複素変数法<sup>1)</sup>によって論ずるものであるが、解法の鍵となる写像函数決定には Heller らが 2 次元問題に適用した写像法<sup>2)</sup>を拡張応用した。すなわち通常の等角写像法により正確な板領域をうることは困難であるゆえ、対象とする板の隅角部に適当な丸味を付けて、これを単位円内部に写像した後、比較的簡単な計算によりたわみ、モーメントなどの諸値をうるもので、これらは隅角部の丸味を出来る限り小さくすることにより、本来の完全な直線辺で隅に丸味がない板の値にいくらでも近づけられる。なお、写像函数決定の際に生ずる非線型多元連元方程式の解は電子計算機を利用してことにより初めてえられるものであり、電子計算機の効用に依存する問題の一である。

本論文では満載等分布荷重および中央集中荷重をうける周辺単純支持の菱形板について解説することとし、算例として周辺固定および周辺単純支持の菱形板、正方形板および正八角形板の中央点におけるたわみ、モーメントを求め、既往の解と比較検討した。

2.写像函数 図-1 に示すごとく Z-面上の原点を中心も有する幅  $a$ 、高さ  $b$  の菱形レギラ面上の単位円内に、またその内部がその内部にそれぞれ等角写像されるものとし、がつし上の頂点下へ  $T_4$  が上上の点  $t_1$  へなに相対応するものとしたうえで、 $s_{t_1} = -s_{T_3}$ ,  $s_{T_2} = -s_{T_4}$  と円周上に挙れば、Schwarz-Christoffel の変換公式により次式が成立する。

$$Z = \lambda \int_0^S (1 + s^2)^k (1 - s^2)^{k-1} ds \quad \dots \dots \dots (1)$$

ここに  $Z = x+iy$ ,  $s = e^{\alpha+i\beta}$ ,  $(x, y)$ : 直角座標,  $(\alpha, \beta)$ : 直交曲線座標,  $\lambda$ : Z-面と  $\zeta$ -面とのスケール比。

式(1)の積分を直接行なうことは困難であるゆえ、被積分函数を級数に展開する手法を探る。すなわち、

$$Z = \lambda \int_0^S (1 + \alpha_2 s^2 + \alpha_4 s^4 + \alpha_6 s^6 + \alpha_8 s^8 + \dots) ds$$

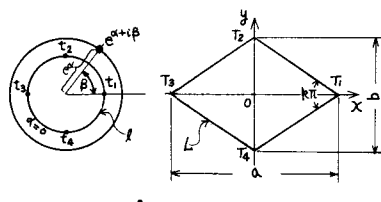
ここに  $\alpha_2, \alpha_4, \alpha_6, \dots$  は  $k$  の函数

上式より直ちに次式がえられる。

$$Z = \lambda \left( S + \frac{\alpha_2}{3} S^3 + \frac{\alpha_4}{5} S^5 + \frac{\alpha_6}{7} S^7 + \frac{\alpha_8}{9} S^9 + \dots \right) \quad \dots \dots \dots (2)$$

式(2)が所要の写像函数であり、無限級数によって Z-面上の完全な直線辺で隅に丸味がない菱形板領域を  $\zeta$ -面上の単位円内部に写像する。しかし実際問題として無限項を採ることは煩雑を招来し、また有限項で打切れば項数とえられる图形との関係が明確でないゆえ、本論文では 2 次元問題において矩形孔を単位円に写像する Heller らの手法を拡張応用した。すなわち、式(2)の有限項を採り、その項数および係数を変化させることによって直線辺で隅に任意の曲率半径を有する菱形板を写像することができ、したがってかかる板形状に適した写像函数が次式のごとくえられることとなる。

$$Z = \omega(S) = AS + BS^3 + CS^5 + DS^7 + ES^9 + \dots \quad (\text{有限}) \quad \dots \dots \dots (3)_a \quad \text{あるいは} \quad Z = \sum_{n=1,3,5}^N a_n S^n \quad \dots \dots \dots (3)_b$$



S-Plane ( $S = e^{\alpha+i\beta}$ ) Z-Plane ( $Z = x+iy$ )

図-1

ここに  $\alpha_1 = A$ ,  $\alpha_3 = B$ ,  $\alpha_5 = C$ ,  $\alpha_7 = D$ ,  $\alpha_9 = E$ , …… で  $N$  は整数である。

3. 対称函数の係数の決定 式(3)を展開し実数部と虚数部ともそれぞれ等置して  $\alpha=0$  とすれば板境界も定義する次式がえられる。

$$\left. \begin{array}{l} x = A \cos \beta + B \cos 3\beta + C \cos 5\beta + D \cos 7\beta + E \cos 9\beta + \dots \\ y = A \sin \beta + B \sin 3\beta + C \sin 5\beta + D \sin 7\beta + E \sin 9\beta + \dots \end{array} \right\} \quad (4)$$

式(4)中の係数  $A$ ,  $B$ ,  $C$ , …… は実際の板形状をなるべく正確に表わすべく決定しなければならないが、本論文では 8 個の値  $A \sim H$  を決定し計算には 7 個の値  $A \sim E$  を用うこととする。係数決定の条件は式(4)で定義される曲線が任意の曲率半径を有する菱形板の境界上の一連の点を通過することで、これらの点を図-2 に示すが、各点の座標値は次のとくである。

$$\left. \begin{array}{ll} x_1 = 0_1 x + r; & y_1 = 0 \\ x_2 = 0_1 x + r \cos \theta_2; & y_2 = r \sin \theta_2 \\ x_3 = \frac{1}{5}(4U_x + V_x); & y_3 = \frac{1}{5}(4U_y + V_y) \\ x_4 = \frac{1}{5}(3U_x + 2V_x); & y_4 = \frac{1}{5}(3U_y + 2V_y) \\ x_5 = \frac{1}{5}(2U_x + 3V_x); & y_5 = \frac{1}{5}(2U_y + 3V_y) \\ x_6 = \frac{1}{5}(U_x + 4V_x); & y_6 = \frac{1}{5}(U_y + 4V_y) \\ x_7 = r \cos \theta_7; & y_7 = 0_2 y + r \sin \theta_7 \\ x_8 = 0; & y_8 = 0_2 y + r \end{array} \right\} \quad (5)$$

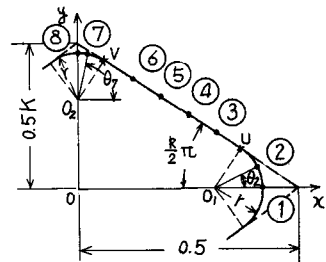


図-2

$$\text{ただし } 0_1 x = 0.5 - r \cos \sec \frac{k}{2}\pi, \quad 0_2 y = 0.5 K - r \sec \frac{k}{2}\pi$$

$$U_x = 0_1 x + r \sin \frac{k}{2}\pi, \quad U_y = r \cos \frac{k}{2}\pi, \quad V_x = r \sin \frac{k}{2}\pi, \quad V_y = 0_2 y + r \cos \frac{k}{2}\pi$$

ここに板は計算の便宜のため、もとの隅に丸味がない菱形が単位幅  $a = 1$  となるごとき形状とし、高さ  $b = K$  で隅半径は  $r$  とする。対称性により  $\beta_1 = 0$ ,  $\beta_8 = \pi/2$  となる。式(5)を式(4)に代入して次式をうる。

$$A + B + C + D + E + F + G + H = x_1$$

$$\left. \begin{array}{l} A \cos \beta m + B \cos 3\beta m + C \cos 5\beta m + D \cos 7\beta m + E \cos 9\beta m + F \cos 11\beta m + G \cos 13\beta m + H \cos 15\beta m = x_m \\ A \sin \beta m + B \sin 3\beta m + C \sin 5\beta m + D \sin 7\beta m + E \sin 9\beta m + F \sin 11\beta m + G \sin 13\beta m + H \sin 15\beta m = y_m \\ A - B + C - D + E - F + G - H = y_8 \end{array} \right\} \quad (6)$$

$$\text{ここに } m = 2, 3, 4, 5, 6, 7$$

式(6)には 8 個の未定係数  $A \sim H$  と 6 個の未知量  $\beta_2 \sim \beta_7$  が含まれている。式(6)の非線型 14 元連立方程式を直接解くことは困難であるゆえ、本論文では Newton の反復解法によって解くこととする。

式(6)のオ1式と最後の式とも  $A$ ,  $B$  について解けば次式をうる。

$$\left. \begin{array}{l} A = \frac{1}{2}(x_1 + y_8) - C - E - G \\ B = \frac{1}{2}(x_1 - y_8) - D - F - H \end{array} \right\} \quad (7)$$

式(7)を式(6)のオ2およびオ3式に代入整理すれば次式をうる。

$$\left. \begin{array}{l} C(\cos 5\beta m - \cos \beta m) + D(\cos 7\beta m - \cos 3\beta m) + E(\cos 9\beta m - \cos \beta m) + F(\cos 11\beta m - \cos 3\beta m) \\ + G(\cos 13\beta m - \cos \beta m) + H(\cos 15\beta m - \cos 3\beta m) + \frac{1}{2}(x_1 + y_8) \cos \beta m + \frac{1}{2}(x_1 - y_8) \cos 3\beta m - x_m = 0 \\ C(\sin 5\beta m - \sin \beta m) + D(\sin 7\beta m - \sin 3\beta m) + E(\sin 9\beta m - \sin \beta m) + F(\sin 11\beta m - \sin 3\beta m) \\ + G(\sin 13\beta m - \sin \beta m) + H(\sin 15\beta m - \sin 3\beta m) + \frac{1}{2}(x_1 + y_8) \sin \beta m + \frac{1}{2}(x_1 - y_8) \sin 3\beta m - y_m = 0 \end{array} \right\} \quad (8)$$

ここに

$$m = 2, 3, 4, 5, 6, 7$$

$C \sim H$  および  $\beta_m$  のオーバー近似値を既知と仮定して式(8)の各式の左辺をそれぞれ  $f_m, g_m$  と定義すれば、函数  $f_m$  および  $g_m$  は 0 に等しくなければならぬ。もし 0 に等しくなければ各仮定値に必要な修正値  $\Delta C \sim \Delta H$  および  $\Delta \beta_m$  が次式で関係づけられる。

$$\left. \begin{aligned} \frac{\partial f_m}{\partial C} \Delta C + \frac{\partial f_m}{\partial D} \Delta D + \frac{\partial f_m}{\partial E} \Delta E + \frac{\partial f_m}{\partial F} \Delta F + \frac{\partial f_m}{\partial G} \Delta G + \frac{\partial f_m}{\partial H} \Delta H + \frac{\partial f_m}{\partial \beta_m} \Delta \beta_m + f_m = 0 \\ \frac{\partial g_m}{\partial C} \Delta C + \frac{\partial g_m}{\partial D} \Delta D + \frac{\partial g_m}{\partial E} \Delta E + \frac{\partial g_m}{\partial F} \Delta F + \frac{\partial g_m}{\partial G} \Delta G + \frac{\partial g_m}{\partial H} \Delta H + \frac{\partial g_m}{\partial \beta_m} \Delta \beta_m + g_m = 0 \end{aligned} \right\} \quad \dots \dots \dots \quad (9)$$

ここに  $m = 2, 3, 4, 5, 6, 7$

式(9)の線型連立方程式を解くことにより修正値  $\Delta C \sim \Delta H$  および  $\Delta \beta_m$  が決定され、したがってオーバー近似値がえられることとなる。これら諸値を用いて  $f_m, g_m = 0$  となれば、このオーバー近似値が未知量  $C \sim H$  および  $\beta_m$  の正解値もえられるが、もし 0 とならなければ以上の操作を  $f_m, g_m = 0$  まで反復計算すればよく、この計算は電子計算機で容易に、かつ自動的になされるものである。

なお、 $\theta_1$  および  $\theta_2$  の値としてはそれぞれ  $\pi/9, 5\pi/12$  を採る。

#### 4. 基礎方程式 薄い均質等方性板の曲げに関する基礎微分方程式は周知のごとく次式で表わされる。

$\Delta W = q/D_f$  ..... (10) ここに  $W, q, D_f$  はそれぞれ板のたわみ、横荷重および板の曲げ剛性  
式(10)の特解を  $W_p$  とすればこれは次式で与えられる。

$$W_p = \frac{1}{16D_f} \left( \int \int \int q dxdydz \right) \quad \dots \dots \dots \quad (11)$$

式(10)の一般解  $W$  は  $W_p$  を重調和函数として次式のごとくなる。  $W = W_c + W_p$  ..... (12)

しかるに重調和函数  $W_c$  は 2 つの未知解析函数  $\Psi(z), \bar{\Psi}(z)$  を用いて次式のごとく表わされる。

$$W_c = \operatorname{Re} [\bar{\Psi}(z) + \Psi(z)] \quad \dots \dots \dots \quad (13)$$

ここに  $\bar{z} = z - i\eta$  で  $\Psi(z)$  は次式で与えられるものである。  $\Psi(z) = \int \bar{\Psi}(z) dz$  ..... (14)

したがって問題は 2 つの未知解析函数  $\Psi(z), \bar{\Psi}(z)$  あるいは  $\Psi(z)$  を 2 つの与えられた境界条件より決定することに帰着する。

式(3)を上記の境界条件に代入すれば所要の  $\Psi(z), \bar{\Psi}(z)$  からのベキ級数として次式のごとく決定される。  $\Psi(z) = \psi(s) = \sum_{n=1}^{\infty} b_n s^n$  ..... (15)<sub>a</sub>  $\bar{\Psi}(z) = \psi(\bar{s}) = \sum_{n=1}^{\infty} c_n \bar{s}^n$  ..... (15)<sub>b</sub>

ここに  $b_n, c_n$  は一般に係数比較法により決定される複素数係数である。したがって  $\Psi(z)$  も式(14)よりもベキ級数として次式のごとく表わされる。

$$\Psi(z) = \psi(s) = \sum_{n=0}^{\infty} d_n s^n \quad \dots \dots \dots \quad (15)_c$$

#### 5. 周辺単純支持菱形板の曲げ問題の一 般 解 この場合の境界条件は次式で与えられる。

$$W = \Delta W = 0 \quad \text{along contour } L \quad \dots \dots \dots \quad (16)$$

式(12)と式(16)より次式もうる。

$$W_c = -W_p, \quad \Delta W_c = -\Delta W_p \quad \text{along contour } L \quad \dots \dots \dots \quad (17)$$

一方、式(13)より  $\Delta W_c = 2[\Psi(z) + \bar{\Psi}(z)]$  ..... (18)

ここに  $\bar{\Psi}(z)$  は  $\Psi(z)$  の共轭数で  $\bar{\Psi}(z)$  は次式で与えられるものである  $\bar{\Psi}(z) = \frac{d\Psi(z)}{dz}$  ..... (19)

であるゆえ、この  $\bar{\Psi}(z)$  に式(3)の  $z = w(s)$  を代入すれば  $\bar{\Psi}(z)$  は  $w(s)$  の解析函数  $\psi(s)$  となり  $\bar{\Psi}(z)$  のベキ級数として次式のごとく表わされる。

$$\bar{\Psi}(z) = \psi(s) = \sum_{n=1}^{\infty} k_n s^n \quad \dots \dots \dots \quad (20)$$

式(18)も境界条件式(17)のオーバー式に代入すれば、結局 contour  $L$  に対応する単位円  $s = e^{i\theta}$  上で次式

が成立することとなる。

$$\bar{U}(\sigma) + \bar{V}(\sigma) = -\frac{1}{2} (\Delta W_F)_{Z=w(\sigma)} \quad \dots \dots \dots \quad (21) \quad \text{ここに } \bar{V}(\sigma) \text{ は } V(\sigma) \text{ の共轭数}$$

式(21)に式(20)を代入し、さらに

$$-\frac{1}{2} (\Delta W_F)_{Z=w(\sigma)} = \sum_{n=-\infty}^{\infty} B_n \sigma^n \quad \dots \dots \dots \quad (22)$$

において変形整理すれば未定係数  $k_n$  を決定する線型方程式が次式のごとくえられる。

$$\left. \begin{aligned} k_0 &= \frac{1}{2} B_0 \\ k_m &= B_m \quad (m=1,2,3,\dots) \end{aligned} \right\} \dots \dots \dots \quad (23)$$

一方、 $\chi(2)=\chi(5)$  は次のごとく求められる。すなわち、式(17)の第1式に式(13)を代入し、さらに式(3)a を考慮すれば次式がえられる。

$$\bar{W}(\sigma) \psi(\sigma) + w(\sigma) \bar{\psi}(\sigma) + \chi(\sigma) + \bar{\chi}(\sigma) = -2 (W_F)_{Z=w(\sigma)} \quad \dots \dots \dots \quad (24)$$

ここに  $\bar{W}(\sigma)$ ,  $\bar{\psi}(\sigma)$ ,  $\bar{\chi}(\sigma)$  はそれぞれ  $W(\sigma)$ ,  $\psi(\sigma)$ ,  $\chi(\sigma)$  の共轭数

式(24)に式(3)b, 式(15)a および式(15)c を代入し、さらに

$$-2 (W_F)_{Z=w(\sigma)} = \sum_{n=-\infty}^{\infty} C_n \sigma^n \quad \dots \dots \dots \quad (25)$$

において変形整理すれば未定係数  $c_n$  を決定する線型方程式が次式のごとくえられる。

$$\left. \begin{aligned} 2 \Delta_0 + 2 \sum_{n=1}^{\infty} a_m b_n &= C_0 \\ a_m + \sum_{n=1}^{\infty} (a_m b_{m+n} + a_{m+n} b_n) &= C_m \quad (m=1,2,3,\dots) \end{aligned} \right\} \dots \dots \dots \quad (26)$$

次に式(23)および式(26)を用いて満載等分布荷重および中央集中荷重もうける場合の解析函数  $U(5)$  あるいは  $\psi(5)$ ,  $\chi(5)$  を求めることとする。

(1) 満載等分布荷重  $f_0$  をうける場合 かかる負荷に対する式(10)の特解  $w_F$  は式(11)より直ちに次式のごとく決定される。

$$W_F = \frac{f_0}{64 D_f} Z^2 \bar{Z}^2 \quad \dots \dots \dots \quad (27)$$

したがって式(22)は次式のごとくなる。

$$-\frac{1}{2} (\Delta W_F)_{Z=w(\sigma)} = \sum_{n=-8,6,4}^8 B_n \sigma^n \quad \dots \dots \dots \quad (28)$$

ここに  $B_0 = -2(A^2 + B^2 + C^2 + D^2 + E^2)\mu$ ,  $B_2 = B_{-2} = -2(AB + BC + CD + DE)\mu$

$$\left. \begin{aligned} B_4 = B_{-4} &= -2(AC + BD + CE)\mu, \quad B_6 = B_{-6} = -2(AD + BE)\mu, \quad B_8 = B_{-8} = -2AE\mu \\ \text{ただし } M &= f_0 / 16 D_f \end{aligned} \right\} \dots \dots \dots \quad (29)$$

したがって式(29)も式(23)に代入することにより所要の  $U(5)$  が次式のごとく決定される。

$$U(5) = U(5) = \sum_{n=0,2,4}^8 k_n \sigma^n \quad \dots \dots \dots \quad (30)$$

ここに  $R_0 = -(A^2 + B^2 + C^2 + D^2 + E^2)\mu$ ,  $R_2 = -2(AB + BC + CD + DE)\mu$

$$R_4 = -2(AC + BD + CE)\mu, \quad R_6 = -2(AD + BE)\mu, \quad R_8 = -2AE\mu \quad \dots \dots \dots \quad (31)$$

$U(5) = \psi(5)$  は式(19)よ'

$$\psi(5) = \int U(5) \omega'(5) d\sigma \quad \dots \dots \dots \quad (32)$$

であるゆえ、式(32)に式(30)および式(3)a を代入整理すれば所要の  $\psi(5)$  が次式のごとく決定される。

$$\psi(5) = \psi(5) = \sum_{n=1,3,5}^{17} b_n \sigma^n \quad \dots \dots \dots \quad (33)$$

ここに  $b_1 = Ak_0$ ,  $b_3 = \frac{1}{3}(Ak_2 + 3Bk_0)$ ,  $b_5 = \frac{1}{5}(Ak_4 + 3Bk_2 + 5Ck_0)$

$$b_7 = \frac{1}{7}(Ak_6 + 3Bk_4 + 5Ck_2 + 7Dk_0), \quad b_9 = \frac{1}{9}(Ak_8 + 3Bk_6 + 5Ck_4 + 7Dk_2 + 9Ek_0) \quad \dots \dots \dots \quad (34)$$

$$b_{11} = \frac{1}{11}(3Bk_8 + 5Ck_6 + 7Dk_4 + 9Ek_2), \quad b_{13} = \frac{1}{13}(5Ck_8 + 7Dk_6 + 9Ek_4)$$

$$b_{15} = \frac{1}{15}(7Dk_8 + 9Ek_6), \quad b_{17} = \frac{1}{17}9Ek_8$$

式(27)と式(25)が直ちに次式のごとく表わされる。

$$-2(W_F)_{z=w(\sigma)} = \sum_{n=16,14,12}^{16} C_n \sigma^n \quad \dots \dots \dots (35)$$

ここに  $C_0 = -\mu/2 \cdot (\varepsilon_2^2 + \varepsilon_4^2 + \varepsilon_6^2 + \varepsilon_8^2 + \varepsilon_{10}^2 + \varepsilon_{12}^2 + \varepsilon_{14}^2 + \varepsilon_{16}^2 + \varepsilon_{18}^2)$

$C_2 = C_{-2} = -\mu/2 \cdot (\varepsilon_2 \varepsilon_4 + \varepsilon_4 \varepsilon_6 + \varepsilon_6 \varepsilon_8 + \varepsilon_8 \varepsilon_{10} + \varepsilon_{10} \varepsilon_{12} + \varepsilon_{12} \varepsilon_{14} + \varepsilon_{14} \varepsilon_{16} + \varepsilon_{16} \varepsilon_{18})$

$C_4 = C_{-4} = -\mu/2 \cdot (\varepsilon_2 \varepsilon_6 + \varepsilon_4 \varepsilon_8 + \varepsilon_6 \varepsilon_{10} + \varepsilon_8 \varepsilon_{12} + \varepsilon_{10} \varepsilon_{14} + \varepsilon_{12} \varepsilon_{16} + \varepsilon_{14} \varepsilon_{18})$

$C_6 = C_{-6} = -\mu/2 \cdot (\varepsilon_2 \varepsilon_8 + \varepsilon_4 \varepsilon_{10} + \varepsilon_6 \varepsilon_{12} + \varepsilon_8 \varepsilon_{14} + \varepsilon_{10} \varepsilon_{16} + \varepsilon_{12} \varepsilon_{18})$

$C_8 = C_{-8} = -\mu/2 \cdot (\varepsilon_2 \varepsilon_{10} + \varepsilon_4 \varepsilon_{12} + \varepsilon_6 \varepsilon_{14} + \varepsilon_8 \varepsilon_{16} + \varepsilon_{10} \varepsilon_{18}), C_{10} = C_{-10} = -\mu/2 \cdot (\varepsilon_2 \varepsilon_{12} + \varepsilon_4 \varepsilon_{14} + \varepsilon_6 \varepsilon_{16} + \varepsilon_8 \varepsilon_{18})$

$C_{12} = C_{-12} = -\mu/2 \cdot (\varepsilon_2 \varepsilon_{14} + \varepsilon_4 \varepsilon_{16} + \varepsilon_6 \varepsilon_{18}), C_{14} = C_{-14} = -\mu/2 \cdot (\varepsilon_2 \varepsilon_{16} + \varepsilon_4 \varepsilon_{18}), C_{16} = C_{-16} = -\mu/2 \cdot \varepsilon_2 \varepsilon_{18}$

ただし  $\varepsilon_2 = A^2, \varepsilon_4 = 2AB, \varepsilon_6 = B^2 + 2AC, \varepsilon_8 = 2(AD + BC), \varepsilon_{10} = 2AE + C^2 + 2BD$

$\varepsilon_{12} = 2(BE + CD), \varepsilon_{14} = D^2 + 2CE, \varepsilon_{16} = 2DE, \varepsilon_{18} = E^2$

したがって式(36)を式(26)に代入し、さらに式(3)bを考慮することにより軸要の  $\chi(\zeta)$  が次式のごとく決定される。

$$\chi(z) = \chi(\zeta) = \sum_{n=0,2,4}^{16} d_n \zeta^n \quad \dots \dots \dots (37)$$

ここに  $d_0 = \frac{1}{2} (C_0 - 2(Ab_{11}Bb_{13} + Cb_{15}Db_{17} + Eb_{19}))$ ,  $d_2 = C_2 - \{Bb_{11} + (A+C)b_{13} + (B+D)b_{15} + ((E+C)b_{17} + Db_{19} + Eb_{11})\}$

$d_4 = C_4 - \{Cb_{11} + Db_{13} + (A+E)b_{15} + Bb_{17} + Cb_{19} + Db_{11} + Eb_{13}\}$ ,  $d_6 = C_6 - (Db_{11} + Eb_{13} + Ab_{15} + Bb_{17} + Cb_{19} + Db_{13} + Eb_{15})$

$d_8 = C_8 - (Eb_{11} + Ab_{13} + Bb_{15} + Cb_{17} + Db_{19}), d_{10} = C_{10} - (Ab_{15} + Bb_{17}), d_{12} = C_{12} - Ab_{17}$

$d_{14} = C_{14} - (Ab_{13} + Bb_{15} + Cb_{17}), d_{16} = C_{16} - C_{18} - Ab_{17}$

(2) 中央集中荷重  $P$  をうける場合 かかる負荷に対する式(10)の特解  $W_F$  は次式で与えられる。<sup>3)</sup>

$$W_F = -\frac{P}{16\pi D_s} \left[ 2\bar{\zeta} \log \frac{1}{\bar{\zeta}} + \bar{\zeta} \left( \frac{2}{5} \Delta \zeta + 2 \sqrt{\frac{2}{5}} \Delta \bar{\zeta} \right) \right] \quad \dots \dots \dots (39)$$

式(39)より式(22)は次式のごとくなる。  $-\frac{1}{2}(\Delta W_F)_{z=w(\sigma)} = 0 \quad \dots \dots \dots (40)$

したがって式(40)、式(23)および式(32)により軸要の  $\psi(\zeta)$  が次式のごとく決定される。

$$\psi(z) = \psi(\zeta) = 0 \quad \dots \dots \dots (41)$$

$\chi(z) = \chi(\zeta)$  は満載等分布荷重をうける場合と全く同様にして求められる。すなわち式(26)において  $b_n = 0$  とすればよく、したがって軸要の  $\chi(\zeta)$  が次式のごとく決定される。

$$\chi(z) = \chi(\zeta) = \sum_{n=0,2,4}^{16} d_n \zeta^n \quad \dots \dots \dots (42)$$

ここに  $d_0 = \frac{1}{2} C$ ,  $d_n = C_n (n=0,2,4,6,8)$

であり、 $C_n (n=0,2,4,6,8)$  は式(39)を式(35)に代入して次式のごとく求められるものである。

$C_0 = 2(A^2 + \frac{B^2}{3} + \frac{C^2}{5} + \frac{D^2}{7} + \frac{E^2}{9})K$

$C_2 = 2(\frac{2}{3}AB + \frac{4}{15}BC + \frac{6}{35}CD + \frac{8}{45}DE)K$

$C_4 = 2(\frac{3}{5}AC + \frac{5}{21}BD + \frac{7}{45}CE)K$

$C_6 = 2(\frac{4}{7}AD + \frac{2}{9}BE)K$

$C_8 = 2\frac{5}{9}AEK$

ただし  $K = P/8\pi D_s$

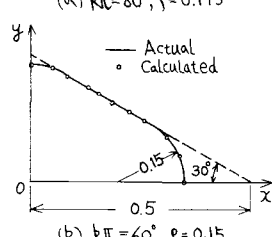
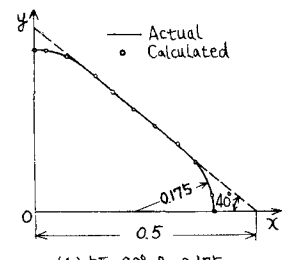


図-3 実際の板形状と写像による板形状との比較(菱形板)

## 6. 計算例

(1) 菱形板 内角  $k\pi = 90^\circ, 80^\circ, 70^\circ, 60^\circ$ ,

表-1 菱形板の写像函数の係数

$k\pi K = \frac{b}{a}$	$\rho = \frac{r}{a}$	A	B	C	D	E
$90^\circ$	1	353553	353553	0	0	0
		.325	.360987	-0.00119	.005229	+0.00015
		.300	.365796	+0.00014	.011017	-0.00001
		.250	.373890	+0.00019	.021933	+0.00002
		.200	.378391	-0.00008	.030966	-0.00005
		.175	.379466	-0.00004	.034230	-0.00004
$80^\circ$	.839100	321394	321394	0	0	0
		.300	.327534	+0.03083	.003662	-0.00735
		.250	.337133	+0.08718	.015410	+0.02479
		.200	.343412	+0.11201	.025135	+0.02777
		.175	.345144	+0.12498	.029746	+0.03850
$70^\circ$	.700208	.286788	.286788	0	0	0
		.250	.297615	+0.10435	.007629	-0.01127
		.200	.306407	+0.19417	.020509	+0.03072
		.175	.308416	+0.21676	.025673	+0.03719
$60^\circ$	.577350	.250000	.250000	0	0	0
		.225	.257913	+0.11579	.004962	-0.01351
		.200	.266280	+0.20606	.012844	+0.05556
		.150	.272392	+0.24453	.025545	+0.08805

$70^\circ$ ,  $60^\circ$ の菱形板に関して半径比  $\rho = \frac{r}{a}$  の種々の値に対する写像函数の係数値を表-1に示すが、この値を式(4)に代入することによって写像される菱形板の境界は図-3のごとくである。図に見ると極めて正確な图形がえられ、これより本写像法が高精度のものであることが認められる。満載等分布荷重もうける場合には表-1の値を式(33)および式(37)に、中央集中荷重をうける場合には式(41)および式(42)にそれを代入計算すれば、解剖函数  $\Psi(\zeta)$ ,  $\chi(\zeta)$  の係数値が決定され、さらにこの値を用いて板のたわみおよびモーメントが求められる。図-4は以上の計算によってえられた板中央点のたわみ ( $w_0$ ) および曲げモーメント ( $(M_x)_0$ ,  $(M_y)_0$ ) を周辺固定の場合に  $\rho$  を変数として示したものである。

図より容易に

判断されるごとく、中央

点のたわみおよび曲げモ

ーメントは  $\rho$  の値の如何

にかかららず、すなはち

隅角部の丸味がより変

化してもさ程大きく変わ

ることなく、 $\rho = 0.15$ での

値と隅に丸味がない菱形

板 ( $\rho = 0$ ) に対する Morley

の解(図中、一点鎖線)

との差異は、満載等分布

荷重時のみ。 $(M_x)_0$  および

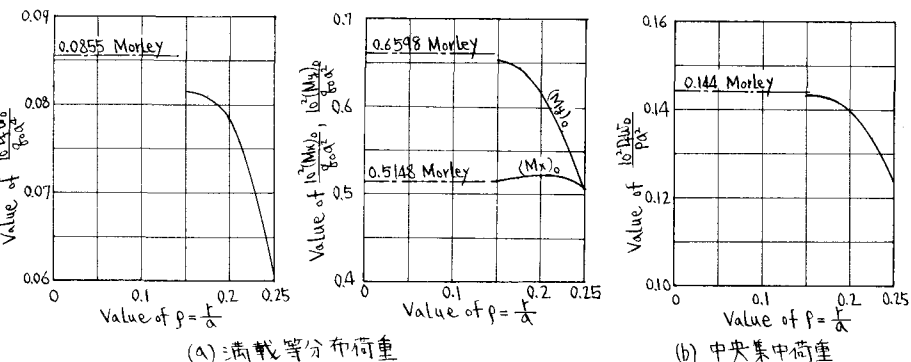
$(M_y)_0$  でそれぞれ 5.4%, 0%, 1.0% であり、同じく中央集中荷重時の  $w_0$  で 0.7% である。

図-2に菱形板の中央点におけるたわみおよび曲げモーメントを内角純、載荷条件および境界条件に応じて示せば表-2のごとくなる。

(2) 正方形板 この場合の写像函数は板形状の対称性により次式のごとくなる。

$$z = w(\zeta) = A\zeta + B\zeta^5 + C\zeta^9 + D\zeta^{13} + E\zeta^{17} + \dots \quad \dots \quad (45)$$

式(45)中の係数  $A \sim F$  を決定するに必要な条件は図-5に示すごとき点も通過することで、各点の座標値は次式で与えられる。



(a) 満載等分布荷重

(b) 中央集中荷重

図-4 周辺固定の場合の中央たわみおよび中央曲げモーメント,  $R/L = 60^\circ$

表-2 菱形板の中央たわみおよび中央曲げモーメント

載荷(内角純)		境界		文獻		載荷(内角純)		境界		文獻	
条件	条件	$10^3 w_0 / \text{Pa}$	$10^3 (M_x)_0 / \text{Pa}$	$10^3 (M_y)_0 / \text{Pa}$	著者	条件	条件	$10^3 w_0 / \text{Pa}$	$10^3 (M_x)_0 / \text{Pa}$	著者	
U	$80^\circ$	F	0.20835	0.90939	0.98254	著者	C	F	0.23170	著者	
		S.S.	0.67733	1.8324	2.0254	( $\rho = 0.115$ )		S.S.	0.49493	( $\rho = 0.115$ )	
		F	0.2178	0.9112	0.9866	Morley <sup>4)</sup>		F	0.233	Morley <sup>4)</sup>	
		S.S.	0.702	—	—	Morley <sup>4)</sup>		S.S.	0.4800	Agarwalla <sup>5)</sup>	
U	$70^\circ$	F	0.13584	0.70020	0.81575	著者	C	F	0.18570	著者	
		S.S.	0.49397	1.4596	1.6807	( $\rho = 0.115$ )		S.S.	0.38088	( $\rho = 0.115$ )	
		F	0.1417	0.7005	0.8234	Morley <sup>4)</sup>		F	0.187	Morley <sup>4)</sup>	
		S.S.	—	—	—	Morley <sup>4)</sup>		S.S.	0.3868	Agarwalla <sup>5)</sup>	
U	$60^\circ$	F	0.080916	0.51482	0.65287	著者	C	F	0.14318	著者	
		S.S.	0.27053	1.0958	1.3694	( $\rho = 0.150$ )		S.S.	0.29696	( $\rho = 0.150$ )	
		F	0.0835	0.5148	0.6598	Morley <sup>4)</sup>		F	0.144	Morley <sup>4)</sup>	
		S.S.	0.185	—	—	Morley <sup>4)</sup>		S.S.	0.3000	Agarwalla <sup>5)</sup>	

(Note) U: 満載等分布荷重, C: 中央集中荷重, F: 周辺固定, S.S.: 周辺単純支持

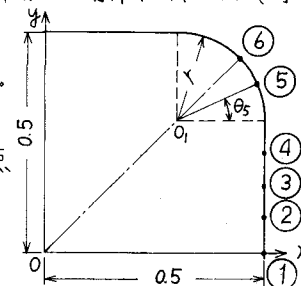


図-5

$$\begin{aligned} x_1 &= 0.5; & y_1 &= 0 \\ x_2 &= 0.5; & y_2 &= \frac{1}{4}0.8 \\ x_3 &= 0.5; & y_3 &= \frac{1}{2}0.8 \\ x_4 &= 0.5; & y_4 &= \frac{3}{4}0.8 \\ x_5 &= 0.1x + r\cos\theta_5; & y_5 &= 0.1y + r\sin\theta_5 \\ x_6 &= 0.1x + r/\sqrt{2}; & y_6 &= 0.1y + r/\sqrt{2} \end{aligned} \quad \dots \quad (46)$$

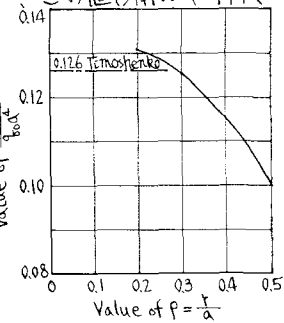
$$E\text{EJ} \quad 0_{1x} = 0_{1y} = 0.5 - r, \quad \theta_5 = \pi/6$$

式(45)および式(46)により決定される写像函数の係数値と半径比  $r = 1/a$  を変数として表-3に示すが、この値を用いて写像される正方形板の境界は図-1のとくで、<sup>3)</sup>極めて正確なすばらしい正方形板がえられる。

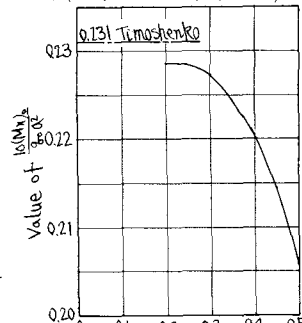
図-1は板

中央点のたわみ  $W_0$  および

曲げモーメント  $(M_x)_0 = (M_y)_0$  を周辺固定の場合に關し  $r$  も変数として示したもので、 $r = 0.20$  の値と隅に丸味がない正方形板 ( $r=0$ ) に対する Timoshenko の解<sup>5)</sup> (図中、一点鎖線)との差異は満載等分布荷重時の  $W_0$  および  $(M_x)_0$  で



(a) 満載等分布荷重



(b) 中央集中荷重

表-3 正方形板の写像函数の係数

$p = \frac{r}{a}$	A	B	C	D	E
.500	500000	0	0	0	0
.450	5143915	-008924-005984	-0009165	+01945	
.425	518620	-015309-004738	+000916	+001151	
.400	522333	-021137-002215	1.00639	+000513	
.375	525666	-026583+000050	0.00815	1.00073	
.350	528649	-031687+002560	0.000651	-001143	
.325	531249	-036420+005319	0.000110	-000344	
.300	533446	-040704+008399	-000888	-000314	
.275	535300	-044423+011400	-002434	-000101	
.250	536671	-047457+014407	-004533	-000698	
.225	537467	-049133+017031	-006333	-002277	
.200	538114	-051244+019769	-007769	-004239	

図-6 実際の板形状と写像された板形状との比較(正方形)

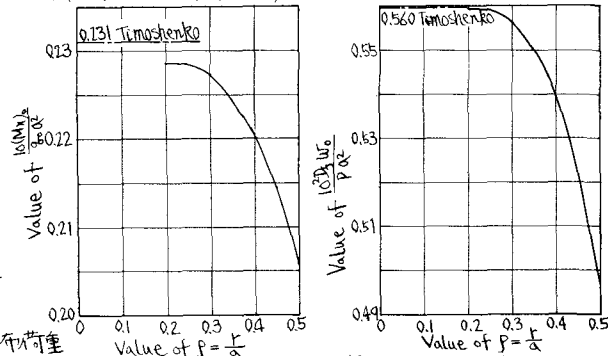


表-4 正方形板の中央たわみおよび中央曲げモーメント

載荷境界条件	条件	$10^3 D W_0 / g_0 a^4$	$10(M_x)_0 / g_0 a^2$	文献	載荷境界条件	条件	$10^3 D W_0 / g_0 a^4$	文献
U	F	0.13105	0.22835	(P=0.20)	F	0.55937	(P=0.20)	
	S.S.	0.400070	0.47545		S.S.	1.1544		
	F	0.126	0.231		F	0.560		Timoshenko <sup>5)</sup>
	S.S.	0.406	0.479		S.S.	1.160		Timoshenko <sup>5)</sup>

(Note) U: 满載等分布荷重, C: 中央集中荷重, F: 周辺固定, S.S.: 周辺単純支持

もれで約 4.0% , 1.3% である。同じく中央集中荷重時の  $W_0$  で 0.4% である。因みに正方形板の中央点におけるたわみおよび曲げモーメントを各載荷条件および境界条件に対して示せば表-4のごとくなる。

(3) 正八角形板 この場合の写像函数も正方形板の場合と同じく式(45)のごとくなり、式中の係数 A ~ E は図-8 に示すごとき点 (各点の座標値は式(47)で与えられる) を通過すべき条件により、半径比  $r$  を変数として表-5のごとく決定される。

$$\begin{aligned} x_1 &= 0.5; & y_1 &= 0 \\ x_2 &= 0.5; & y_2 &= \frac{1}{2}0.8 \\ x_3 &= 0.1x + r\cos\theta_3; & y_3 &= 0.1y + r\sin\theta_3 \\ x_4 &= 0.1x + r\cos\theta_4; & y_4 &= 0.1y + r\sin\theta_4 \\ x_5 &= 0.1x + r\cos\theta_5; & y_5 &= 0.1y + r\sin\theta_5 \\ x_6 &= \frac{1}{2}(U_x + 0.5/\sqrt{2}); & y_6 &= \frac{1}{2}(U_y + 0.5/\sqrt{2}) \\ x_7 &= 0.5/\sqrt{2}; & y_7 &= 0.5/\sqrt{2} \end{aligned} \quad \dots \quad (47)$$

F ただし

$$\begin{aligned} 0_{1x} &= 0.5 - r; 0_{1y} = (0.5 - r)\tan\pi/8 \\ U_x &= 0.1x + r/\sqrt{2}; U_y = 0.1y + r/\sqrt{2} \\ \theta_3 &= \pi/18, \theta_4 = \pi/9, \theta_5 = \pi/6 \end{aligned}$$

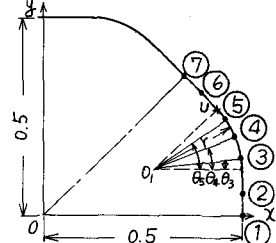
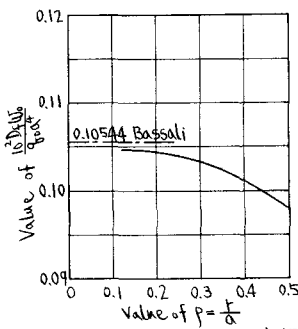


図-8

表-1の値を用いて写像される正八角形板の境界は図-9のごとくで極めて正確な图形がえられている。

図-10は板中央点のたわみ( $w_c$ )および曲げモーメント( $(M_{yy})_c = (M_x)_c$ )を周辺固定の場合に關し $P$ を変数として示したもので、 $P=0.125$ におけるBassali<sup>6)</sup>の解との差異は、満載等分布荷重時の $w_c$ および $(M_x)_c$ でそれらが0.7%、0.1%である。表-2、表-4に対応して表-6も示す。



(a) 満載等分布荷重

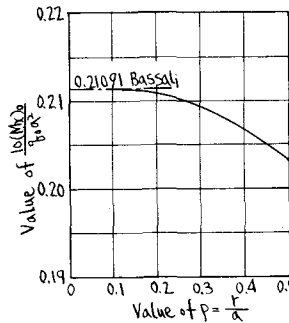


図-10 周辺固定の場合の中央たわみおよび中央曲げモーメント

7.結語 本論文は円形、橢円形、矩形など簡単な形状をも含めた任意形状板の解法を示したものであるが、本法の特徴を要約して述べれば次のとくである。

(1) 対象とする板の写像函数さえ決定できれば、以後の計算は簡単かつ系統的である。

(2) 対称とする板の対称軸が多い程、少量の計算で高精度の写像函数がえられる。

(3) 対称軸が少なく、かつ比較的複雑な板形状であっても、写像函数の係数A, B, C, …(式(3)a参照)のオイ近似値を適切に与えることにより電子計算機を用いて非線型多元連立方程式を解くだりで比較的容易に写像函数を決定しうる。

なお、数值計算はすべて本学電子計算機OKITAC-5090Hによったことを記す。

参考文献 1) N.I. Muskhelishvili, Some Basic Problems of the Mathematical Theory of Elasticity, 1963.

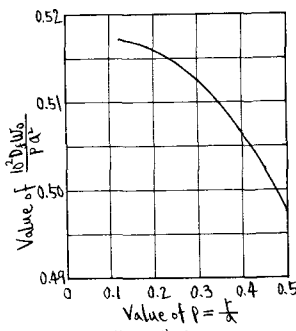
2) S.R. Keller, Jr., et al., Proc. 3rd U.S. Natl. Congr. Appl. Mech., 1958. 3) B.D. Aggarwala, Quart. Jour. Mech. Appl. Math., Vol. 19, 1966.

4) L.S. D. Morley, Quart. Jour. Mech. Appl. Math., Vol. 17, 1964. 5) S. Timoshenko and S. Woinowsky-Krieger, Theory of Plates and Shells, 1959. 6) W.A. Bassali and F.R. Borsoum, Proc. Camb. Phil. Soc., Vol. 62, 1966.

7) B.D. Aggarwala, ZAMM, Bd. 34, 1954.

表-5 正八角形板の写像函数の係数

$p=\frac{P}{\alpha}$	A	B	C	D	E
500	500.000	0	0	0	0
475	501471	-0.00243	-0.00653	+0.00372	+0.00179
450	502623	-0.00042	-0.01789	+0.00142	+0.00444
425	503689	-0.00020	-0.02932	+0.00031	+0.00577
400	504684	-0.00012	-0.04071	-0.00018	+0.00514
375	505615	0.00022	-0.05199	-0.00035	+0.00486
350	506486	+0.00021	-0.06311	-0.00034	+0.00325
325	507295	0.00016	-0.07404	+0.00026	-0.00099
300	508038	0.00009	-0.08475	-0.00016	+0.00195
275	508706	0.00003	-0.09514	-0.00006	+0.00561
250	509192	-0.00001	-0.10510	+0.00003	+0.00108
225	509184	-0.00004	-0.11433	+0.00009	+0.001547
200	510177	-0.00005	-0.12233	+0.00011	+0.002185
175	510415	-0.00004	-0.12834	+0.00011	+0.002417
150	510694	-0.00003	-0.12932	+0.00009	+0.003726
125	510779	-0.00002	-0.12127	+0.00005	+0.004670



(b) 中央集中荷重

表-6 正八角形板の中央たわみおよび中央曲げモーメント

載荷 条件	境界 条件	$10^5 \text{Pa}^2/\text{kg} \cdot \text{m}^4$	$10^5 \text{N/m}^2/\text{kg} \cdot \text{m}^2$	文角		載荷 条件	$10^5 \text{Pa}^2/\text{kg} \cdot \text{m}^2$	文角
				F	S.S.			
U	F	0.10466	0.21114	著者 ( $P=0.125$ )	Bassali <sup>6)</sup>	F	0.51698	著者 ( $P=0.125$ )
	S.S.	0.31935	0.42419			S.S.	1.0381	
	F	0.10544	0.21091			F	—	
	S.S.	0.3201	0.42500			S.S.	1.040	

<Note> U: 満載等分布荷重, C: 中央集中荷重, F: 周辺固定, S.S.: 周辺単純支持